# ВЗАИМОДЕЙСТВИЕ ПЕНТАФЕНИЛСУРЬМЫ И ПЕНТА(ПАРА-ТОЛИЛ)СУРЬМЫ С БИФЕНИЛ-2,2'-ДИКАРБОНОВОЙ КИСЛОТОЙ. РЕАКЦИЯ ПЕНТАФЕНИЛСУРЬМЫ С БИФЕНИЛ-4,4'-ДИКАРБОНОВОЙ КИСЛОТОЙ. СТРОЕНИЕ ПРОДУКТОВ РЕАКЦИЙ

## Ю.О. Пупкова, О.К. Шарутина, В.В. Шарутин⊠

Южно-Уральский государственный университет, Челябинск, Россия В sharutin50 @mail.ru

Аннотация. Взаимодействием пентафенилсурьмы и пента(пара-толил)сурьмы с бифенил-2,2'дикарбоновой кислотой (мольн. соотношение 2:1) в толуоле и бензоле синтезированы биядерные производные  $Ph_4SbOC(O)C_6H_4C_6H_4OC(O)SbPh_4$  (1) и  $Tol_4SbOC(O)C_6H_4C_6H_4OC(O)SbTol_4 \cdot 2PhH$  (2) с выходами 70 и 73 % соответственно. Реакция пентафенилсурьмы с бифенил-4,4'-дикарбоновой кислотой в бензоле приводит к образованию  $Ph_4SbOC(O)C_6H_4C_6H_4SbPh_4$  · 3PhH (3). Кристаллографические характеристики комплекса: (1)  $[C_{62}H_{48}O_4Sb_2, M = 1100,50;$  моноклинная сингония, пр. гр. Pn; параметры ячейки: a = 9,889(5) Å, b = 25,446(14) Å, c = 10,321(5) Å;  $\beta = 105,85(2)^{\circ}$ , V = 2498(2) Å<sup>3</sup>, Z = 2;  $\rho_{\text{выч}} = 1,463 \text{ г/см}^3$ ;  $\mu = 1,130 \text{ мм}^{-1}$ ; F(000) = 1108,0; обл. сбора по  $2\theta$ .  $5,98-53,82^{\circ}$ ; всего отражений 25282; независимых отражений 9696 ( $R_{int}=0,0706$ ); GOOF = 1,190; R-фактор 0,0522]; (2) [C<sub>82</sub>H<sub>76</sub>O<sub>4</sub>Sb<sub>2</sub>, M = 5475,71; моноклинная сингония, пр. гр. C2/c; параметры ячейки: a = 12,009(7) Å, b = 30,69(2) Å, c = 19,374(11) Å;  $\beta = 93,57(2)^\circ$ ,  $V = 7126(8) \text{ Å}^3$ , Z = 1;  $\rho_{\text{выч}} = 1,276 \text{ г/см}^3$ ;  $\mu = 0,806 \text{ мм}^{-1}$ ; F(000) = 2808,0; обл. сбора по 20: 5,72–  $54,34^{\circ}$ ; всего отражений 69807; независимых отражений 7887 ( $R_{\text{int}} = 0,0708$ ); GOOF = 1,048; Rфактор 0.0422; (3)  $C_{80}H_{66}O_4Sb_2$ , M=1334,85; триклинная сингония, пр. гр. R-1; параметры ячейки: a = 10,676(8) Å, b = 13,404(8) Å, c = 13,917(9) Å;  $\alpha = 116,53(2)^{\circ}$ ,  $\beta = 104,21(3)^{\circ}$ ,  $\gamma = 97,60(2)^{\circ}$ ,  $V=1658,7(19)~{\rm \AA}^3,~Z=2;~
ho_{\rm выч}=1,336~{\rm г/cm}^3;~\mu=0,864~{\rm mm}^{-1};~F(000)=680,0;~{\rm обл.~cбора~ по~}20:~5,988-1000$  $54,57^{\circ}$ ; всего отражений 35142; независимых отражений 7353 ( $R_{\text{int}} = 0,0683$ ); GOOF = 1,065; R-фактор 0,0419]]. Атомы сурьмы в комплексах имеют искаженную тригонально-бипирамидальную координацию с атомом кислорода карбоксильной группы в аксиальном положении.

*Ключевые слова*: пентафенилсурьма, пента(*пара*-толил)сурьма, бифенил-2,2'-дикарбоновая кислота, бифенил-4,4'-дикарбоновая кислота, деарилирование, рентгеноструктурный анализ

Для цитирования: Пупкова Ю.О., Шарутина О.К., Шарутин В.В. Взаимодействие пентафенилсурьмы и пента(пара-толил)сурьмы с бифенил-2,2'-дикарбоновой кислотой. Реакция пентафенилсурьмы с бифенил-4,4'-дикарбоновой кислотой. Строение продуктов реакций // Вестник ЮУрГУ. Серия «Химия». 2025. Т. 17, № 3. С. 80–87. DOI: 10.14529/chem250307

Original article

DOI: 10.14529/chem250307

# INTERACTION OF PENTAPHENYLANTIMONY AND PENTA(PARA-TOLYL)ANTIMONY WITH BIPHENYL-2,2'-DICARBOXYLIC ACID. REACTION OF PENTAPHENYLANTIMONY WITH BIPHENYL-4,4'-DICARBOXYLIC ACID. STRUCTURE OF REACTION PRODUCTS

Yu.O. Pupkova, O.K. Sharutina, V.V. Sharutin<sup>™</sup>

**Abstract.** The interaction of pentaphenylantimony and penta(para-tolyl)antimony with biphenyl-2,2'-dicarboxylic acid (molar ratio 2:1) in toluene and benzene, led to synthesis of binuclear derivatives 4-

© Пупкова Ю.О., Шарутина О.К., Шарутин В.В., 2025.

 $Ph_4SbOC(O)C_6H_4C_6H_4OC(O)SbPh_4$  (1) and  $Tol_4SbOC(O)C_6H_4C_6H_4SbTol_4 \cdot 2PhH$  (2), yielding 70 % and 73 %, respectively. The reaction of pentaphenylantimony with biphenyl-4,4'-dicarboxylic acid in benzene produced Ph<sub>4</sub>SbOC(O)C<sub>6</sub>H<sub>4</sub>C<sub>6</sub>H<sub>4</sub>SbPh<sub>4</sub> · 3PhH (3) (81%). Crystallographic characteristics of the complexes: (1) [ $C_{62}H_{48}O_4Sb_2$ , M = 1100.50; monoclinic syngony, space group Pn; cell parameters: a = 9.889(5) Å,  $b = 25.446(14) \text{ Å}, c = 10.321(5) \text{ Å}; \beta = 105.85(2)^{\circ}, V = 2498(2) \text{ Å}^3, Z = 2; \rho_{calc} = 1.463 \text{ g/cm}^3; \mu = 1.130 \text{ mm}^{-1};$ F(000) = 1108.0; collection area by 20: 5.98–53.82°; total reflections 25282; independent reflections 9696  $(R_{\text{int}} = 0.0706)$ ; GOOF = 1.190; R-factor 0.0522]; (2)  $[C_{82}H_{76}O_4Sb_2, M = 1368.93]$ ; monoclinic syngony, space group C2/c; cell parameters: a = 12.009(7) Å, b = 30.69(2) Å, c = 19.374(11) Å;  $\beta = 93.57(2)^{\circ}$ ,  $V = 7126(8) \text{ Å}^3$ , Z = 1;  $\rho_{\text{calc}} = 1.276 \text{ g/cm}^3$ ;  $\mu = 0.806 \text{ mm}^{-1}$ ; F(000) = 2808.0; collection area by 20: 5.72– 54.34°; total reflections 69807; independent reflections 7887 ( $R_{int} = 0.0708$ ); GOOF = 1.048; R-factor 0.0422; (3) [C<sub>80</sub>H<sub>66</sub>O<sub>4</sub>Sb<sub>2</sub>, M = 1334.85; triclinic syngony, space group P-1; cell parameters: a = 10.676(8) Å, b = 13.404(8) Å, c = 13.917(9) Å;  $\alpha = 116.53(2)^{\circ}$ ,  $\beta = 104.21(3)^{\circ}$ ,  $\gamma = 97.60(2)^{\circ}$ ,  $V = 1658.7(19) \text{ Å}^3$ , Z = 2;  $\rho_{\text{calc}} = 1.336 \text{ g/cm}^3$ ;  $\mu = 0.864 \text{ mm}^{-1}$ ; F(000) = 680.0; collection area by 20:  $5.988-54.57^{\circ}$ ; total reflections 35142; independent reflections 7353 ( $R_{int} = 0.0683$ ); GOOF = 1.065; R-factor 0.0419]. The antimony atoms in the complexes have a distorted trigonal-bipyramidal coordination with the oxygen atom of the carboxyl group in the axial position.

*Keywords:* pentaphenylantimony, penta(*para*-tolyl)antimony, biphenyl-2,2'-dicarboxylic acid, biphenyl-4,4'-dicarboxylic acid, dearylation, X-ray diffraction analysis

*For citation:* Pupkova Yu.O. Sharutina O.K., Sharutin V.V. Interaction of pentaphenylantimony and penta(*para*-tolyl)antimony with biphenyl-2,2'-dicarboxylic acid. Reaction of pentaphenylantimony with biphenyl-4,4'-dicarboxylic acid. Structure of reaction products. *Bulletin of the South Ural State University. Ser. Chem.* 2025;17(3): 80–87. (In Russ.) DOI: 10.14529/chem250307

### Введение

В основной части публикаций, посвященных вопросам практического использования органических соединений сурьмы, изучаются различные аспекты их биологической активности [1–6]. Специфичность свойств конкретного соединения обусловлена природой лигандов у центрального атома металла, синтез же новых органических производных сурьмы позволяет увеличить разнообразие соединений с полезными свойствами.

Известно, что большинство органических ОН-кислот дефенилируют пентафенилсурьму, образуя производные Ph<sub>4</sub>SbX (X – остаток кислоты) [7–10]. Реакции пентаарилсурьмы с органическими соединениями, содержащими несколько реакционноспособных функциональных групп, представляют интерес, поскольку могут приводить к образованию комплексов сурьмы, в которых лиганд выполняет различные структурные функции. С другой стороны, для органических соединений, содержащих различные функциональные группы с подвижным атомом водорода, реакции с пентаарилсурьмой являются своеобразным показателем их активности в этих группах. Так, при взаимодействии пентафенилсурьмы с сульфосалициловой кислотой сначала происходит замещение атома водорода в сульфонатной группе, при избытке пентафенилсурьмы в реакцию вступает карбоксильная группа, а гидроксильная группа участия в реакции не принимает [11]. При взаимодействии пентафенилсурьмы с салициловой кислотой реагирует только карбоксильная группа [12], в то время как реакция пентафенилсурьмы с 4-гидроксибензойной кислотой в толуоле в присутствии метоксида натрия протекает и по карбоксильной и по гидроксильной группам [13]. В реакции пентафенилсурьмы с 2,4-дигидроксибензойной кислотой независимо от соотношения реагентов участвуют карбоксильная и пара-гидроксильная группы, образуя биядерный комплекс – 2-гидрокси-4-тетрафенилстибоксибензоат тетрафенилсурьмы, в молекуле которого тригонально-бипирамидальная координация двух атомов сурьмы искажена в разной степени [14].

Настоящая работа посвящена изучению реакций пентафенилсурьмы и пента(*пара*-толил)сурьмы с бифенил-2,2'-дикарбоновой кислотой и пентафенилсурьмы с бифенил-4,4'-дикарбоновой кислотой и установлению особенностей строения полученных продуктов.

## Экспериментальная часть

В работе использовали дикарбоновые кислоты производства фирмы Alfa Aesar. Элементный анализ выполнен на элементном анализаторе Carlo Erba CHNS-O EA 1108. Температуры плавления измерены на синхронном термоанализаторе Netzsch 449C Jupiter.

Взаимодействие пентафенилсурьмы с бифенил-2,2'-дикарбоновой кислотой. Смесь 0,25 г (0,5 ммоль) пентафенилсурьмы и 0,06 г (0,25 ммоль) бифенил-2,2'-дикарбоновой кислоты в 3 мл толуола помещали в стеклянную ампулу, запаивали и выдерживали при 100 °С 1 ч. После охлаждения и вскрытия ампулы прибавляли 1 мл октана, перемешивали и медленно концентрировали раствор до объема 1 мл. Образовавшиеся кристаллы фильтровали и сушили. Получили 0,19 г (70 %) бесцветных кристаллов 1 с т. пл. 242 °С. Найдено, %: С 67,48; Н 4,50. Для  $C_{62}H_{48}O_{4}Sb_{2}$  вычислено, %: С 67,60; Н 4,36. ИК-спектр (v, см $^{-1}$ ): 3049, 1637, 1584, 1554, 1479, 1435, 1184, 1061, 1022, 997, 853, 839, 762, 729, 690, 468, 454, 418.

Взаимодействие пента(*пара*-толил) сурьмы с бифенил-2,2'-дикарбоновой кислотой. Смесь 0,25 г (0,43 ммоль) пента-(*пара*-толил) сурьмы и 0,05 г (0,215 ммоль) бифенил-2,2'-дикарбоновой кислоты в 5 мл бензола помещали в стеклянную ампулу, запаивали и выдерживали при 100 °С 1 ч. После охлаждения и вскрытия ампулы прибавляли 1 мл октана, перемешивали и медленно концентрировали раствор до объема 1 мл. Образовавшиеся кристаллы фильтровали и сушили. Получили 0,187 г (72 %) кристаллов 2 с т. пл. 195 °С (с разл.). Найдено, %: С 71,69; Н 5,68. Для  $C_{82}H_{76}O_4Sb_2$  вычислено, %: С 71,88; Н 5,55. ИК-спектр ( $\nu$ , см<sup>-1</sup>): 3053, 3032, 3017, 2954, 2920, 2864, 1630, 1611, 1591, 1560, 1493, 1477, 1435, 1393, 1335, 1271, 1211, 1188, 1142, 1117, 1101, 1059, 1036, 1015, 955, 878, 835, 797, 764, 750, 708, 679, 656, 582, 569, 544, 525, 486, 440.

Взаимодействие пентафенилсурьмы с бифенил-4,4'-дикарбоновой кислотой. Смесь 0,25 г (0,5 ммоль) пентафенилсурьмы и 0,06 г (0,25 ммоль) бифенил-4,4'-дикарбоновой кислоты в 3 мл бензола помещали в стеклянную ампулу, запаивали и выдерживали при 100 °С 1 ч. После вскрытия ампулы прибавляли 1 мл октана, перемешивали и медленно концентрировали раствор до объема 1 мл. Образовавшиеся кристаллы фильтровали и сушили. Получили 0,27 г (81 %) бесцветных кристаллов 3 с т. пл. 242°С. Найдено, %: С 71,68; Н 4,99. Для  $C_{62}H_{48}O_4Sb_2$  вычислено, %: С 71,93; Н 4,94. ИК-спектр ( $\nu$ , см $^{-1}$ ): 3049, 1637, 1584, 1554, 1479, 1435, 1184, 1061, 1022, 997, 853, 839, 762, 729, 690, 468, 454, 418.

**ИК-спектры** соединений записывали на ИК-спектрометре Shimadzu IRAffinity-1S в таблет-ках KBr в области  $4000–400~{\rm cm}^{-1}$ .

**PCA** кристаллов **1–3** проведен на дифрактометре D8 Quest фирмы Bruker (Мо $K\alpha$ -излучение,  $\lambda$  = 0,71073 Å, графитовый монохроматор) при 296(2) К. Сбор, редактирование данных и уточнение параметров элементарной ячейки, а также учет поглощения проведены по программам SMART и SAINT-*Plus* [15]. Все расчеты по определению и уточнению структур выполнены по программам SHELXL/PC [16] и OLEX2 [17]. Структуры определены прямым методом и уточнены методом наименьших квадратов в анизотропном приближении для неводородных атомов. Основные кристаллографические данные и результаты уточнения структур приведены в табл. 1, основные длины связей и валентные углы – в табл. 2.

Полные таблицы координат атомов, длин связей и валентных углов депонированы в Кембриджском банке структурных данных (№ 1975714 (1), № 2117977 (2), № 2119793 (3); deposit@ccdc.cam.ac.uk или http://www.ccdc.cam.ac.uk/data\_request/cif).

Таблица 1 Кристаллографические данные, параметры эксперимента и уточнения структур 1–3

Параметр	1	2	3
Формула	$C_{62}H_{48}O_4Sb_2$	$C_{82}H_{76}O_4Sb_2$	$C_{80}H_{66}O_{4}Sb_{2}$
M	1100,50	1368,93	1334,62
Сингония	Моноклинная	Моноклинная	Триклинная
Пр. группа	Pn	C2/c	P–1
a, Å	9,889(5)	12,009(7)	10,676(8)
b, Å	25,446(14)	30,69(2)	13,403(8)
c, Å	10,321(5)	19,374(11)	13,917(9)
α, град	90,00	90,00	116,53(2)
β, град	105,85(2)	93,57(2)	104,21(3)
ү, град	90,00	90,00	97,60(2)
<i>V</i> , Å <sup>3</sup>	2498(2)	7126(8)	1658,7(19)
Z	2	1	2
$\rho_{\text{выч},} \Gamma/\text{см}^3$	1,463	1,276	1,336

### Окончание табл. 1

Параметр	1	2	3
$\mu$ , $mm^{-1}$	1,130	0,806	0,864
F(000)	1108,0	2808,0	680,0
Размер кристалла, мм	$0.33 \times 0.14 \times 0.03$	$0.38 \times 0.21 \times 0.11$	$0,42 \times 0,18 \times 0,16$
Область сбора данных по 20, град	5,98–53,82	5,72–54,34	5,988–4,57
Инторроди инторого	$-12 \le h \le 12$ ,	$-15 \le h \le 15$ ,	$-13 \le h \le 13$ ,
Интервалы индексов	$-31 \le k \le 32$ ,	$-39 \le k \le 39$ ,	$-17 \le k \le 17$ ,
отражений	$-12 \le l \le 12$	$-24 \le l \le 24$	$-17 \le l \le 17$
Измерено отражений	25282	69807	35142
Независимых отражений	9696	7887	7353
$R_{int}$	0,0706	0,0708	0,0683
Переменных уточнения	613	396	377
GOOF	1,190	1,048	1,065
$R$ -факторы по $F^2 > 2\sigma(F^2)$	$R_1 = 0.0522, wR_2 = 0.1083$	$R_1 = 0.0422, wR_2 = 0.1035$	$R_1 = 0.0419, wR_2 = 0.1061$
<i>R</i> -факторы по всем	$R_1 = 0.0772,$	$R_1 = 0.0706,$	$R_1 = 0.0607,$
отражениям	$wR_2 = 0.1218$	$wR_2 = 0.1183$	$wR_2 = 0.1204$
Остаточная электронная плотность (max/min), $e/A^3$	1,03/–2,69	0,90/-0,48	1,61/–1,17

# Основные длины связей и валентные углы в соединениях 1-3

## Таблица 2

Основные длины связеи и валентные углы в соединениях 1–3				
Связь	d, Å	Угол	$\omega$ , град	
		1		
Sb(1)–C(21)	2,110(8)	C(21)Sb(1)C(1)	113,1(3)	
Sb(1)–C(1)	2,119(8)	C(21)Sb(1)C(11)	131,6(3)	
Sb(1)–C(31)	2,173(8)	C(1)Sb(1)C(11)	112,1(3)	
Sb(1)–O(1)	2,260(5)	C(31)Sb(1)O(1)	177,4(3)	
Sb(1)–C(11)	2,139(8)	C(11)Sb(1)C(31)	84,3(4)	
Sb(2)–O(3)	2,246(5)	C(21)Sb(1)C(31)	97,4(3)	
Sb(2)–C(61)	2,130(8)	C(21)Sb(1)O(1)	84,3(3)	
Sb(2)–C(71)	2,111(8)	C(1)Sb(1)C(31)	96,1(3)	
Sb(2)-C(81)	2,156(8)	C(1)Sb(1)O(1)	85,1(3)	
Sb(2)-C(91)	2,213(9)	C(21)Sb(1)C(31)	97,4(3)	
O(1)-C(47)	1,285(9)	C(61)Sb(2)C(81)	110,9(3)	
O(2)–C(47)	1,228(10)	C(71)Sb(2)C(61)	108,4(4)	
O(3)–C(48)	1,312(10)	C(71)Sb(2)C(81)	137,9(4)	
O(4)–C(48)	1,242(10)	C(91)Sb(2)O(3)	175,2(3)	
Sb(1)···O(2)	3,048(12)	C(71)Sb(2)C(91)	93,3(4)	
Sb(2)···O(4)	2,920(11)	C(81)Sb(2)O(3)	86,4(3)	
2				
Sb(1)-O(1)	2,240(2)	C(21)Sb(1)O(1)	178,52(13)	
Sb(1)–C(1)	2,111(3)	C(11)Sb(1)C(1)	116,61(13)	
Sb(1)-C(11)	2,110(4)	C(31)Sb(1)C(1)	128,20(15)	
Sb(1)-C(31)	2,104(4)	C(31)Sb(1)C(11)	112,81(14)	
Sb(1)–C(21)	2,184(4)	C(1)Sb(1)O(1)	84,92(12)	
O(1)-C(47)	1,292(4)	C(1)Sb(1)C(21)	94,81(14)	
O(2)-C(47)	1,219(4)	C(11)Sb(1)O(1)	82,37(12)	
Sb(1)···O(2)	3,168(9)	C(11)Sb(1)C(21)	96,46(15)	
Преобразования симметрии: <sup>1</sup> 1-х, +у, 1/2-z				
3				
Sb(1)–C(11)	2,118(4)	C(11)Sb(1)C(21)	120,78(14)	
Sb(1)-O(1)	2,214(3)	C(11)Sb(1)C(1)	115,41(14)	

Окончание та	6.	П.	2
--------------	----	----	---

Связь	d, Å	Угол	$\omega$ , град
Sb(1)-C(31)	2,174(3)	C(1)Sb(1)C(21)	120,76(14)
Sb(1)-C(21)	2,130(4)	C(31)Sb(1)O(1)	174,83(11)
Sb(1)–C(1)	2,120(4)	C(1)Sb(1)C(31)	94,49(14)
O(1)-C(47)	1,290(4)	C(11)Sb(1)O(1)	83,59(12)
O(2)-C(47)	1,216(5)	C(11)Sb(1)C(31)	96,92(14)
Sb(1)···O(2)	3,443(10)	C(21)Sb(1)C(31)	96,04(15)
Преобразования симметрии: <sup>1</sup> 3-х, 2-у,2-z; <sup>2</sup> 2-х, 2-у,1-z			

## Обсуждение результатов

Известно, что при взаимодействии пентаарилсурьмы с монокарбоновыми кислотами образуются карбоксилаты тетраарилсурьмы, то есть происходит замещение атома водорода в карбоксильной группе на фрагмент  $Ar_4Sb$  [18]. Исследовано множество таких реакций и получено несколько десятков различных карбоксилатов тетраарилсурьмы.

Однако в настоящее время реакции пентаарилсурьмы с дикарбоновыми кислотами описаны только на нескольких примерах. Особенностью таких реакций является возможность замещения кислых атомов водорода на фрагмент  $Ar_4Sb$  как в одной [19–21], так и в двух карбоксильных группах [22, 23].

Мы нашли, что пентафенилсурьма реагирует с бифенил-2,2'-дикарбоновой кислотой (2:1 мольн.) в растворе толуола с образованием биядерного производного сурьмы **1**.

Показано, что взаимодействие пента(*пара*-толил)сурьмы с этой же кислотой в бензоле приводило к синтезу сольвата **2** с бензолом:

Мы показали, что единственным сурьмаорганическим продуктом реакции пентафенилсурьмы с бифенил-4,4'-дикарбоновой кислотой в бензоле являлся сольват 3.

$$\begin{array}{cccc} & \text{PhH} \\ 2 \text{ Ph}_5 \text{Sb} + 4\text{-HOC(O)C}_6 \text{H}_4 \text{-C}_6 \text{H}_4 \text{C(O)OH-4'} & \rightarrow & 4\text{-Ph}_4 \text{SbOC(O)C}_6 \text{H}_4 \text{-C}_6 \text{H}_4 \text{C(O)OSbPh}_4 \text{-4'} \cdot 3 \text{PhH} \\ & & & & & & & & & & & & & & & & & \\ & & & & & & & & & & & & & & & \\ & & & & & & & & & & & & & & & & \\ & & & & & & & & & & & & & & & & \\ & & & & & & & & & & & & & & & & \\ & & & & & & & & & & & & & & & & \\ & & & & & & & & & & & & & & & \\ & & & & & & & & & & & & & & & \\ & & & & & & & & & & & & & & \\ & & & & & & & & & & & & & & \\ & & & & & & & & & & & & & \\ & & & & & & & & & & & & & \\ & & & & & & & & & & & & & \\ & & & & & & & & & & & & \\ & & & & & & & & & & & \\ & & & & & & & & & & & \\ & & & & & & & & & & & \\ & & & & & & & & & & & \\ & & & & & & & & & & & \\ & & & & & & & & & & & \\ & & & & & & & & & & & \\ & & & & & & & & & & & \\ & & & & & & & & & & \\ & & & & & & & & & & \\ & & & & & & & & & & \\ & & & & & & & & & & \\ & & & & & & & & & & \\ & & & & & & & & & \\ & & & & & & & & & \\ & & & & & & & & \\ & & & & & & & & & \\ & & & & & & & & & \\ & & & & & & & & \\ & & & & & & & & \\ & & & & & & & & \\ & & & & & & & & \\ & & & & & & & & \\ & & & & & & & & \\ & & & & & & & & \\ & & & & & & & \\ & & & & & & & \\ & & & & & & & \\ & & & & & & & \\ & & & & & & & \\ & & & & & & & \\ & & & & & & & \\ & & & & & & & \\ & & & & & & \\ & & & & & & & \\ & & & & & & & \\ & & & & & & & \\ & & & & & & & \\ & & & & & & & \\ & & & & & & & \\ & & & & & & & \\ & & & & & & & \\ & & & & & & & \\ & & & & & & & \\ & & & & & & & \\ & & & & & & & \\ & & & & & & & \\ & & & & & & & \\ & & & & & & & \\ & & & & & & & \\ & & & & & & & \\ & & & & & & \\ & & & & & & \\ & & & & & & \\ & & & & & & \\ & & & & & & \\ & & & & & & \\ & & & & & & \\ & & & & & & \\ & & & & & & \\ & & & & & & \\ & & & & & & \\ & & & & & & \\ & & & & & \\ & & & & & & \\ & & & & & \\ & & & & & & \\ & & & & & & \\ & & & & & \\ & & & & & & \\ & & & & & & \\ & & & & & & \\ & & & & & \\ & & & & & & \\ & & & & & & \\ & & & & & & \\ & & & & & & \\ & & & & & & \\ & & & & & & \\ & & & & & & \\ & & & & & & \\ & & & & & & \\ & & & & & \\ & & & & & & \\ & & & & & & \\ & & & & & & \\ & & & & & \\$$

После завершения реакций, ход которой контролировали методом TCX, в реакционную смесь прибавляли октан и медленно концентрировали, при этом на стенках ампулы кристаллизовались прозрачные кристаллы.

В ИК-спектрах полученных карбоксилатов *бис* (тетраарилсурьмы) **1, 2, 3** присутствуют интенсивные полосы поглощения, относящиеся к валентным колебаниям связи C=O: 1637, 1630, 1640 см<sup>-1</sup> соответственно, при этом их положение смещено в область низкочастотных колебаний по сравнению со спектрами соответствующих кислот. Наличие фрагмента  $SbC_4$  в полученных соединениях характеризуется присутствием в их ИК-спектрах полос поглощения при 454, 480, 460 см<sup>-1</sup>, а наличие связей Sb-O подтверждается полосами поглощения при 468, 486, 465 см<sup>-1</sup>, что соответствует литературным данным [24–26].

По данным PCA, атомы сурьмы в **1–3** характеризуются искаженной тригональнобипирамидальной координацией (рис. 1–3).

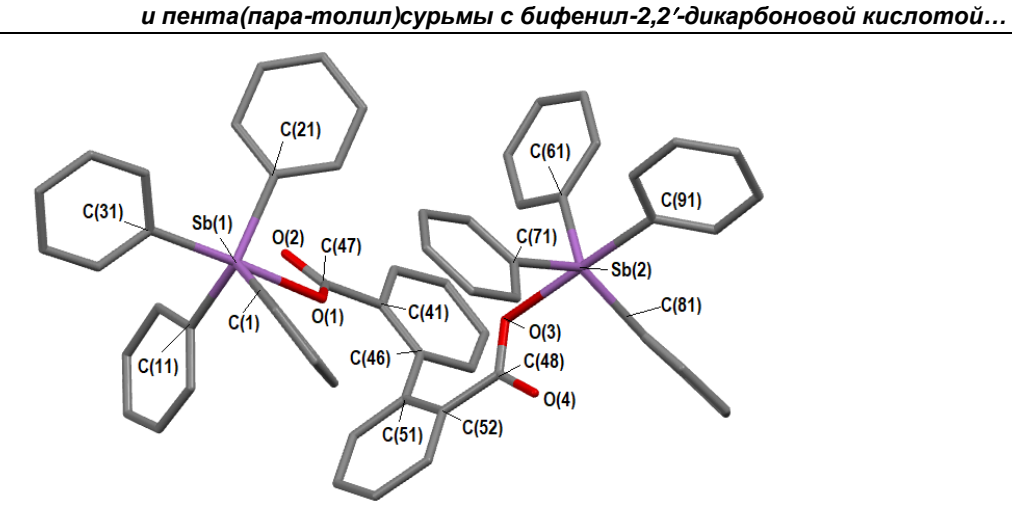


Рис. 1. Строение соединения 1

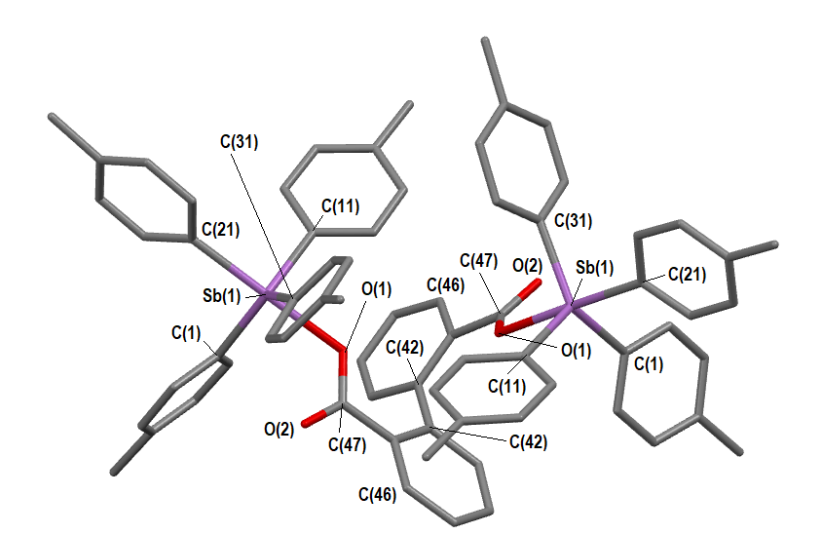


Рис. 2. Строение соединения 2 (сольватные молекулы бензола и атомы водорода не показаны)

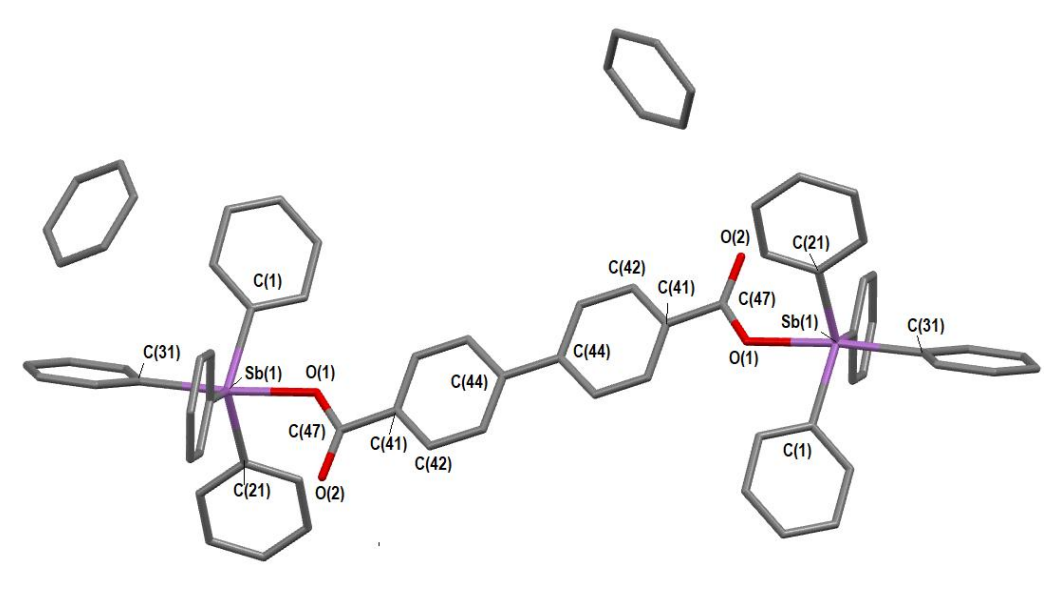


Рис. 3. Строение соединения 3 (атомы водорода не показаны)

Молекулы 2 и 3 имеют центр инверсии, который соответствует точке на середине связи C(42)–C(42') (2) или C(44)–C(44') (3). В молекуле 1 атомы Sb(1) и Sb(2) не эквивалентны. Аксиальные углы O(1)Sb(1)C(31), O(3)Sb(2)C(91) в 1, O(1)Sb(1)C(21) в 2 и O(1)Sb(1)C(31) в 3 равны 177,4(3)°, 175,2(3)°; 178,52(13)° и 174,83(11)°. Суммы экваториальных углов CSbC составляют 356,81(3)°, 357,20(4)°; 357,62(15)° и 356,95(14)° в **1–3** соответственно. В **1** атомы Sb(1) и Sb(2) выходят из экваториальных плоскостей [C(1)C(11)C(21)] и [C(61)C(71)C(81)] соответственно на 0,219 и 0,198 Å, атом Sb(1) в **2** – из плоскости [C(1)C(11)C(21)] на 0,168 Å, в **3** – из плоскости [С(1)С(11)С(21)] на 0,215 Å, что приводит к искажению углов между экваториальными и аксиальными связями по сравнению с теоретическим значением  $90^{\circ}$  (в 1 углы O(1)Sb(1)C(1,11,21)равны  $83,1(3)^{\circ}-85,1(3)^{\circ}$ ,  $C(31)Sb(1)C(1,11,21)-94,3(4)^{\circ}-97,4(3)^{\circ}$ ;  $O(3)Sb(2)C(61,71,81)-82,6(3)^{\circ}-85,1(3)^{\circ}$  $86,4(3)^{\circ}$ , C(91)Sb(1)C(61,71,81) –  $93,3(4)^{\circ}-98,6(3)^{\circ}$ ; в **2** углы O(1)Sb(1)C(1,11,31) и C(21)Sb(1)C(1,11,31) составляют  $82,37(12)^{\circ}-87,06(13)^{\circ}$  и  $94,24(15)^{\circ}-96,46(15)^{\circ}$ ), в 3 аналогичные углы равны  $80.68(12)^{\circ}-88.08(13)^{\circ}$  и  $94.49(14)^{\circ}-96.92(14)^{\circ}$ ). В **1–3** аксиальные связи Sb–C длиннее экваториальных. Так, в 1 связь Sb(1)–C(31) равна 2,173(8) Å, а экваториальные связи Sb(1)– C(1.11.21) – 2.119(8), 2.139(8), 2.110(8), в другом фрагменте молекулы при атоме Sb(2) аналогичные связи имеют значения 2,213(9) Å и 2,111(8), 2,130(8), 2,156(8) Å. В **2** и **3** длины аксиальных связей Sb-C (2,184(4) Å и 2,174(3) Å) также превышают длины экваториальных связей [2,104(4), 2,110(4), 2,111(3) Å и 2,118(4), 2,120(4), 2,130(4) Å). Расстояния Sb-O (2,260(5), 2,246(5) Å в 1, 2,240(2) Å в 2, 2,214(3) Å в 3) значительно длиннее, чем сумма ковалентных радиусов атомов (2,15 Å [27]). Бидентатность карбоксилатных лигандов проявляется слабо, поскольку имеет место значительная асимметрия координации: внутримолекулярные расстояния, обусловленные дополнительными взаимодействия Sb···O=C с карбонильным атомом кислорода, составляют 3,046(8), 2,920(5) Å (1), 3,168(3) Å (2), 3,443(4) Å (3). Углы между плоскостями ароматических колец в остатке бифенил-2,2'-дикарбоновой кислоты составляют 66,63° и 71,80° (в 1 и 2 соответственно); в молекулах 3 кольца бифенил-4,4'-дикарбоновой кислоты лежат в одной плоскости, при этом плоскость карбоксильной группы отклоняется от нее на угол 6,13°.

## Выводы

Установлено, что взаимодействие пентафенилсурьмы и пента(napa-толил)сурьмы с бифенил-2,2'-дикарбоновой кислотой (мольн. соотношение 2:1) в толуоле и бензоле приводит к образованию биядерных производных  $Ph_4SbOC(O)C_6H_4C_6H_4OC(O)SbPh_4$  (1) и  $Tol_4SbOC(O)C_6H_4C_6H_4OC(O)SbTol_4 \cdot 2PhH$  (2) с выходами 70% и 73% соответственно. Реакция пентафенилсурьмы с бифенил-4,4'-дикарбоновой кислотой в бензоле приводит к образованию  $Ph_4SbOC(O)C_6H_4C_6H_4SbPh_4 \cdot 3PhH$  (3). Атомы сурьмы в комплексах имеют искаженную тригонально-бипирамидальную координацию с атомом кислорода карбоксильной группы в аксиальном положении. С учетом внутримолекулярной координации атома металла с карбонильным атомом кислорода координационное число атома сурьмы составляет 6.

#### Список источников

- 1. *Li J.-S.*, *Ma Y.-Q.*, *Cui J.-R. et al.* // Appl. Organometal. Chem. 2001. V. 15, No. 7. P. 639. DOI: 10.1002/aoc.491.
- 2. Ma~Y.,~Li~J.,~Xuan~Z.~et~al.~//~J.~Organometal.~Chem.~2001.~V.~620,~No.~2.~P.~235.~DOI: 10.1016/S0022-328X(00)00799-3.
- 3. *Liu R.-C.*, *Ma Y.-Q.*, *Yu L. et al.* // Appl. Organometal. Chem. 2003. V. 17, No. 9. P. 662. DOI: 10.1002/aoc.491.
- 4. *Artem'eva E.V.*, *Duffin R.*, *Munuganti S. et al.* // J. Inorgan. Biochem. 2022. V. 234. 111864. DOI:10.1016/j.jinorgbio.2022.111864
- 5. Artem'eva~E.V.,~Duffin~R.,~Munuganti~S.~et~al.~//~Polyhedron.~2022.~V.~213.~115627.~DOI:10.1016/j.poly.2021.115627
- 6. *Mushtaqa R.*, *Raufa M.K.*, *Bond M. et al.* // Appl. Organometal. Chem. 2016. V. 30. P. 465. DOI:10.1002/aoc.3456
- 7. *Schmidbaur H., Mitschke K.H.* // Angew. Chem. 1971. Bd. 83. P.149. DOI: 10.1002/ange.19710830414.

- 8. Sharutin V.V., Sharutina O.K., Gubanova Yu.O. et al. // J. Organometal. Chem. 2015. V. 798. P. 41. DOI:10.1016/j.jorganchem.2015.09.002
- 9. Галиуллина Д.Р., Ефремов А.Н. // Вестник ЮУрГУ. Сер. «Химия». 2022. Т. 14, № 3. С. 23. DOI: 10.14529/chem220303
- 10. Ефремов А.Н., Шарутин В.В. // Вестник ЮУрГУ. Сер. «Химия». 2021. Т. 13, № 1. С. 47. DOI: 10.14529/chem210105
- 11. Шарутин В.В., Шарутина О.К., Панова Л.П. и др. // Коорд. химия. 1997. Т. 23, № 7. C. 513. EDN: ZPNXGO
- 12. Sharutin V.V., Sharutina O.K., PakusinaA.P. et al. // Russ. J. Gen. Chem. 1997. T. 67, № 9. C. 1443. EDN: LELBCF
- 13. Quan L., Yin H., Cui J. et al. // J. Organometal. Chem. 2009. V. 694. P. 3683. DOI: 10.1016/j.jorganchem.2009.07.041
- 14. Шарутин В.В., Шарутина О.К., Губанова Ю.О. // Вестник ЮУрГУ. Серия «Химия». 2017. T. 9, № 4. C. 56. DOI: 10.14529/chem170409
- 15. Bruker, SMART and SAINT-plus. Versions 5.0. Data Collection and Processing Software for the SMART System, Bruker AXS Inc, Madison, Wisconsin, USA, 1998.
- 16. Bruker, SHELXTL/PC. Versions 5.10. An Integrated System for Solving, Refining and Displaying Crystal Structures from Diffraction Data, Bruker AXS Inc, Madison, Wisconsin, USA, 1998.
- 17. Dolomanov O.V., Bourhis L.J., Gildea R.J. et al. // J. Appl. Cryst. 2009. V. 42. P. 339. DOI: 10. 1107/S0021889808042726
- 18. Шарутин В.В., Поддельский А.И., Шарутина О.К. // Коорд. химия. 2020. Т. 46, № 10. C. 579. DOI: 10.31857/S0132344X20100011
- 19. Шарутин В.В., Сенчурин В.С., Шарутина О.К. // Журн. неорган. химии. 2014. Т. 59, № 2. C. 247. DOI: 10.7868/S0044457X14020184
- 20. Шарутин В.В., Шарутина О.К., Мельникова И.Г. и др. // Изв. РАН. Сер. хим. 1996. № 8. C. 2082. DOI: 10.1007/bf01457791.
- 21. Sharutin V.V., Sharutina O.K., Pakusina A.P., Belsky V.K. // J. Organometal. Chem. 1997. V. 536–537, № 1–2. P. 87. DOI: 10.1016/s0022-328x(96)06463-7.
- 22. Шарутин В.В., Шарутина О.К. // Коорд. химия. 2014. Т. 40, № 9. С. 559. DOI: 10.1134/S1070328414090073.
- 23. Шарутин В.В., Шарутина О.К., Бондарь Е.А. и др. // Журн. общ. химии. 2002. Т. 72, № 2. C. 2029. DOI: 10.1023/A:1023411228493.
- 24. Sharutin V.V., Sharutina O.K., Gubanova Yu.O. et al. // Inorg. Chim. Acta. 2019. V. 494. P. 211. DOI: 10.1016/j.ica.2019.05.029
- 25. Sharma P.K., Sharma R.K., Rai A.K. et al. // Main Group Metal Chemistry. 2011. V. 27, No. 1. P. 51. DOI: 10.1515/MGMC.2004.27.1.51
- 26. Тарасевич Б.Н. ИК-спектры основных классов органических соединений. М.: МГУ, 2012.
- 27. Batsanov S.S. // Inorganic Materials. 2001. V. 36, No. 9. P. 871. DOI: 10.1023/A: 1011625728803

Пупкова Юлия Олеговна – кандидат химических наук, доцент кафедры теоретической и прикладной химии, Южно-Уральский государственный университет, Челябинск, Россия. E-mail: ulchik\_7757@ mail.ru

Шарутина Ольга Константиновна – доктор химических наук, профессор, заведующий кафедрой теоретической и прикладной химии, Южно-Уральский государственный университет, Челябинск, Россия. E-mail: sharutinaok@mail.ru

Шарутин Владимир Викторович – доктор химических наук, профессор, главный научный сотрудник управления научной и инновационной деятельности, Южно-Уральский государственный университет, Челябинск, Россия. E-mail: sharutin50@mail.ru

Статья поступила в редакцию 8 апреля 2025 г. The article was submitted 8 April 2025.